

## 河口均匀流中涌潮波的形式

杜 勇

(青岛海洋大学, 266003)

**摘要** 本文从浅水非线性潮波方程出发, 同时考虑摩擦效应和河口径流, 求得波阵面直立、涌潮形成的位置。由此分析了浅水非线性效应、摩擦效应以及均匀水流的存在等对涌潮形成的影响。指出, 浅水非线性效应是涌潮形成的决定因素, 摩擦效应消耗能量对涌潮的形成起抑制作用, 而逆向均匀水流的存在则促进河口涌潮波在更短的距离内形成。

多年来, 人们从不同的角度对涌潮进行研究。数值研究侧重于模拟某一河口的涌潮<sup>[1]</sup>或者数值计算结果的分析<sup>[2]</sup>。而解析方法, 由于问题的复杂性往往引入无粘假定<sup>[2, 5, 6]</sup>, 有的甚至采用线性方程<sup>[3]</sup>对涌潮进行研究。由于涌潮是发生在河口区域, 所以浅水非线性效应和摩擦效应都比较显著, 一般还伴随着比较稳定的水流。为此我们采用考虑摩擦的浅水非线性潮波方程, 按照与 Gurtin<sup>[2]</sup>类似的方法, 先求出波阵面斜率的方程, 再求得波阵面直立、涌潮形成的位置。由此讨论浅水非线性效应、摩擦效应以及均匀水流的存在等对涌潮形成的影响。

### 一、基本方程及其解

假定潮波沿  $x$  正向传播, 坐标轴  $x$  平行于底坡。未扰动时, 自由面位于  $z = 0$ 。底部

为平行于  $x$  轴的直线  $z = -h$ 。均匀水流流速为  $U$  ( $=$ 常数); 扰动速度为  $u$ ; 扰动压力为  $p_1$ , 未扰动时压力为  $p_2$ , 有扰动时压力为  $p = p_1 + p_2$ ;  $K$  为摩擦系数;  $g_1, g_2$  分别为重力加速度的水平和垂直分量 (见图 1)。

运动方程:

$$\begin{aligned} & (u + U)_t + (u + U)(u + U)_x \\ & = -\frac{1}{\rho}(p_1 + p_2) + g_1 - K(u + U) \end{aligned} \quad (1)$$

$$\frac{1}{\rho}(p_1 + p_2)_z = -g_2 \quad (2)$$

连续方程:

收稿日期: 1988 年 11 月 7 日。

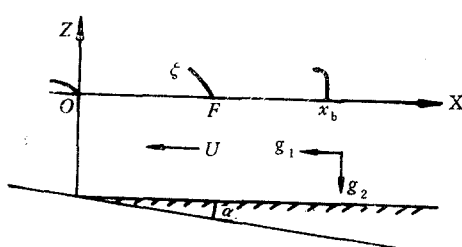


图 1 涌潮波的形成过程  
Fig. 1 Generating process of a bore

$$\zeta_t + [(u + U)(\zeta + h)]_x = 0 \quad (3)$$

其中,  $\zeta$  为自由面高度(潮位)。当扰动不存在时, 对于均匀恒定流, 显然,

$$KU = g_1 = \text{常数} \quad (4)$$

由式(2), 对  $z$  积分, 然后对  $x$  微分, 可得,

$$(p_1)_x = \rho g_2 \zeta_x \quad (5)$$

将式(4)和(5)代入(1),(2)和(3), 得出

$$u_t + (u + U)u_x = -g_2 \zeta_x - Ku \quad (6)$$

$$\zeta_t + [u(\zeta + h)]_x + U(\zeta + h)_x = 0 \quad (7)$$

按照 Gurtin 方法<sup>[2]</sup>, 假定 (i)  $u$ ,  $\zeta$  是连续的; (ii)  $u$  和  $\zeta$  的一阶和二阶导数至多有第一类间断点; (iii) 在涌潮波的前方  $u$  和  $\zeta$  始终为零。将图 1 中  $F$  点的  $u$  和  $\zeta$  记为  $u^-$  和  $\zeta^-$ , 即

$$\lim_{t \rightarrow t(x)} f(x, t) = f^-(x),$$

则应有  $u^- = \zeta^- = 0$ ,  $t(x)$  为波前到达  $x$  点的时间。 $F$  点以速度  $C + U$  向前运动, 因此全导数

$$\frac{du^-}{dt} = 0 \quad \text{即 } (C + U)u_x^- = -u_t^- \quad (8)$$

$$\frac{d\zeta^-}{dt} = 0 \quad \text{即 } (C + U)\zeta_x^- = -\zeta_t^- \quad (9)$$

其中,  $C + U = \frac{dx}{dt}$  为  $F$  点的特征速度。由方程(5)和(6), 并利用假定 (iii) 后, 得

$$\zeta^- = -hu_x^- - U\zeta_x^- \quad (10)$$

$$u_t^- = -Uu_x^- - g_2\zeta_x^- \quad (11)$$

将式(8),(9)代入式(10),(11)中, 可得

$$C^2 = g_2 h \quad (12)$$

为讨论波阵面的倾斜, 定义在波阵面上  $F$  点处的斜率为  $\alpha$ , 则

$$\alpha = \zeta_x^- \quad (13)$$

利用(13)式, 由(11)式可得

$$u_t^- = -Uu_x^- - \alpha g_2 \quad (14)$$

再由式(8)和(14)求得

$$u_x^- = \alpha \frac{g_2}{C} \quad (15)$$

将式(15)代回(14), 得

$$u_t^- = -(C + U)\alpha \frac{g_2}{C} \quad (16)$$

对方程(6)求  $t$  的导数, 并利用假定 (iii), 得

$$u_{tt}^- + u_t^- u_x^- + Uu_{xt}^- + g_2\zeta_{xt}^- + Ku_t^- = 0 \quad (17)$$

对方程(7)求  $x$  的导数, 且利用假定(iii)和式(13), 得

$$\zeta_{tx}^- + u_{xx}^- h + 2\alpha u_x^- + U\zeta_{xx}^- = 0 \quad (18)$$

由式(17)和(18),消去  $\zeta_{xt}$  项后得,

$$u_{xx}^- g_2 h - u_{tt} + 2\mathcal{A} g_2 u_x^- + U g_2 \zeta_{xx}^- - u_t^- u_x^- - U u_{xx}^- - K u_t^- = 0 \quad (19)$$

将 F 点沿特征线  $l$  传播,用  $\frac{d}{dx}$  表示沿着  $l$  的导数,即

$$\frac{d}{dx} (u_x^-) = \frac{1}{C+U} u_{xt}^- + u_{xx}^- \quad (20)$$

$$\frac{d}{dx} (u_t^-) = \frac{1}{C+U} u_{tt}^- + u_{tx}^- \quad (21)$$

由式(20)和(21),可得

$$(C+U)^2 \frac{d}{dx} (u_x^-) - (C+U) \frac{d}{dx} (u_t^-) = (C+U)^2 u_{xx}^- - u_{tt}^- \quad (22)$$

再利用式(12),由式(22)可导出

$$u_{xx}^- g_2 h - u_{tt} = (C+U)^2 \frac{d}{dx} (u_x^-) - (C+U) \frac{d}{dx} (u_t^-) - (2UC+U^2) u_{xx}^- \quad (23)$$

将式(23)代入式(19),并利用式(15)和(16),得

$$\begin{aligned} & (C+U)^2 \frac{d}{dx} (u_x^-) - (C+U) \frac{d}{dx} (u_t^-) - 2U g_2 \mathcal{A}_x - \frac{U^2}{C} g_2 \mathcal{A}_x + \frac{2g_2^2}{C} \mathcal{A}^2 \\ & + U g_2 \mathcal{A}_x + \frac{(C+U)}{C^2} g_2^2 \mathcal{A}^2 + \frac{U(C+U)}{C} g_2 \mathcal{A}_x + \frac{K(C+U)g_2}{C} \mathcal{A} = 0 \end{aligned} \quad (24)$$

消去  $\mathcal{A}_x$  项,并进一步整理,得

$$\frac{d\mathcal{A}}{dx} = -\frac{1}{2(C+U)^2} \left[ \frac{g_2}{C} (3C+U) \right] \mathcal{A}^2 - \frac{K}{2(C+U)} \mathcal{A} \quad (25)$$

求解微分方程(25),可得

$$\mathcal{A} = \left[ \frac{1}{\mathcal{A}_0} \exp \left( \frac{K}{2(C+U)} x \right) + \frac{g_2(3C+U)}{CK(C+U)} \left( \exp \left( \frac{K}{2(C+U)} x \right) - 1 \right) \right]^{-1} \quad (26)$$

其中,  $\mathcal{A}_0$  是当 F 点经过  $x=0$  处时的波阵面斜率。显然,当

$$\frac{1}{\mathcal{A}_0} \exp \left( \frac{K}{2(C+U)} x \right) + \frac{g_2(3C+U)}{CK(C+U)} \left[ \exp \left( \frac{K}{2(C+U)} x \right) - 1 \right] = 0 \quad (27)$$

时,  $|\mathcal{A}| = \infty$ , 波阵面直立,涌潮发生。由此我们可以求得涌潮发生的位置

$$x_b = \frac{2(C+U)}{K} \ln \left[ \left( 1 - \frac{CK(C+U)}{(3C+U)|\mathcal{A}_0|g_2} \right)^{-1} \right] \quad (28)$$

$x_b$  是自湾口 ( $\mathcal{A} = \mathcal{A}_0$  处)至涌潮形成处 ( $|\mathcal{A}| = \infty$ ) 之间的距离。

## 二、解的讨论

由式(28)可以分别讨论摩擦效应、浅水非线性效应、均匀水流以及各效应之间的相互作用对涌潮波形成的影响。在河口中均匀水流一般与涌潮波传播方向相反,且  $|U| < C$ , 否则涌潮波不能向前传播。因此,尽管对式(28)中  $|U|$  的其它变化情况的讨论,将有比较广泛的意义,但限于本文的目的,在河口涌潮波问题上,我们仅讨论  $|U| < C$  且  $U \leq 0$  的情况。

### 1. 摩擦效应和均匀水流对涌潮的影响

(1)  $K = 0$  (不考虑摩擦), 这时式(28)化为

$$x_b = \frac{2C(C+U)^2}{(3C+U)|\alpha_0|g_2} \quad (29)$$

若  $U = 0$  (没有径流的情况), 则式(29)化为

$$x_b = \frac{2}{3} \frac{h}{|\alpha_0|} \quad (30)$$

与 Gurtin 的结果<sup>[2]</sup>一致。这时涌潮形成距离的大小主要取决于水深  $h$  和  $x = 0$  处的波面斜率  $|\alpha_0|$ 。由于不考虑摩擦效应,  $h$  对  $x_b$  的影响主要取决于波面上最高点的波速  $C_1 = \sqrt{g_2(h + |\zeta|)}$  与较低点的波速  $C_2 = \sqrt{g_2h}$  之间的差。 $h$  越大, 差越小(在  $|\zeta|$  相同的情况下)。从而波面变陡直需要更长的距离; 反之,  $x_b$  越小。 $|\alpha_0|$  对  $x_b$  的影响是显然的。 $|\alpha_0|$  越大,  $x_b$  越小。若  $U < 0$  且  $|U| \leq C$  (水流沿  $x$  负向), 对于式(29)和(30), 不难证明, 恒有

$$\frac{2C(C+U)^2}{(3C+U)|\alpha_0|g_2} < \frac{2}{3} \frac{h}{|\alpha_0|} \quad (31)$$

因此, 逆向均匀水流  $U$  的存在使涌潮波在更短的距离内产生。特别当  $|U| = C$  时,  $x_b = 0$ 。在这种极端情况下, 涌潮波不向前传播, 而在  $x = 0$  的湾口处形成直立的波面。

(2)  $K \neq 0$  (考虑摩擦), 若  $U = 0$ , 式(28)化为

$$x_b = -\frac{2C}{K} \ln \left( 1 - \frac{CK}{3|\alpha_0|g_2} \right) \quad (32)$$

由于  $C = \sqrt{g_2h}$ , 显然, 水深  $h$  与  $x_b$  的关系和不考虑摩擦的情况类似。 $h$  越大, 涌潮波越难以形成; 反之, 形成距离变短。将式(32)中的对数部分展开级数, 不难证明, 当摩擦效应增大时,  $x_b$  增大。说明摩擦消耗能量, 将阻碍涌潮的形成, 使形成涌潮的距离  $x_b$  变长。

若  $U < 0$  且  $|U| \leq C$ , 由式(28)

$$x_b = -\frac{2(C+U)}{K} \ln \left( 1 - \frac{CK(C+U)}{(3C+U)|\alpha_0|g_2} \right) \quad (33)$$

可以看出, 在这种情况下, 摩擦效应与  $U = 0$  时类似, 仍然是阻碍涌潮形成的因子。不难证明, 当  $U < 0$  且  $|U| \leq C$  时,

$$\frac{2(C+U)}{K} \ln \left( 1 - \frac{CK(C+U)}{(3C+U)|\alpha_0|g_2} \right) > \frac{2C}{K} \ln \left( 1 - \frac{CK}{3|\alpha_0|g_2} \right)$$

即存在逆向均匀水流时, 涌潮波形成距离将变短。因此, 在考虑摩擦的情况下, 逆向均匀水流同样有助于涌潮波的形成。

### 2. 浅水非线性效应

若在基本方程(1),(2)和(3)中去掉非线性项  $uu_x$ ,  $u\zeta_x$  和  $\zeta u_x$ , 由类似步骤可求得

$$\alpha = \alpha_0 \exp \left( -\frac{K}{2(C+U)} x \right) \quad (34)$$

由式(34)可见, 无论  $x$  取何值, 在有限的距离内  $|\alpha|$  不会达到无穷。因此, 这种情况下, 河口涌潮波不会形成。这也说明, 涌潮的形成是一个较强的非线性过程。若没有非线性效应, 则涌潮的形成是不可能的。因而, 用线性理论来解释涌潮现象是值得商榷的<sup>[3]</sup>。

从式(34)也可以看出,  $K = 0$  时  $\alpha = \alpha_0$ , 波面的倾斜将不改变;  $K \neq 0$  时,  $|\alpha|$  将随  $x$  衰减。当  $U = 0$  时,  $|\alpha|$  将在摩擦的作用下较快地变小; 而  $|U| > 0$  时, 均匀水流的效应与摩擦效应相抑制, 从而使  $|\alpha|$  的衰减变慢。

### 三、结 论

以上分析表明, 浅水非线性效应是涌潮形成的决定因素; 摩擦效应消耗潮波能量对涌潮的形成起抑制作用; 而逆向均匀水流的存在则使河口涌潮波能在更短的距离内形成。另外在相同的情况下, 水深越浅, 涌潮波越容易形成。值得指出的是, 这并不是由于摩擦的影响, 而是由于在浅水中, 波面上最高点与最低点之间的波速差较大造成。

应当指出, 非线性效应还应包括摩擦的非线性效应。本文未分析这种效应。另外, 除  $U < 0$  且  $|U| \leq C$  以外的其它均匀水流情况同样有意义。限于本文的目的也未予以讨论。这些都有待于进一步的工作。

### 参 考 文 献

- [1] 赵雪华, 1985。钱塘江涌潮的一维数学模型。水利学报 1: 50—54。
- [2] Gurtin, M. E., 1975. On the breaking of water wave on a sloping beach of arbitrary shape. Quarterly of Applied Mathematics pp. 187—189.
- [3] Mazumder, N. C., P. K. Chatterjee and S. K. Basak, 1984. Generation of bore. J. of Waterway Port, Coastal and Ocean Engineering 110(2): 159—170.
- [4] Peregrine, D. H., 1966. Calculations of the development of an undular bore. J. Fluid Mech. 25(2): 321—330.
- [5] Peregrine, D. H., 1967. Long wave on a beach. J. Fluid Mech. 27(4): 815—827.
- [6] Shen, M. C. and R. E. Meyer, 1963. Climb of a bore on a beach. Part 2, Non-uniform beach slope. Part 3, Run-up. J. Fluid Mech. 16(2): 108—125.

## ON THE GENERATION OF BORES IN CONSTANT FLOW OF ESTUARY

Do Yong

*(Ocean University of Qingdao, 266003)*

### ABSTRACT

The shallow water nonlinear tidal wave equations with friction are analysed on the assumption that the flow in estuary is constant. In a similar way to that of Gurtin, the wave front slope equation

$$\alpha = \left[ \frac{1}{\alpha_0} \exp \left( \frac{K}{2(C+U)} x \right) + \frac{g_2(3C+U)}{CK(C+U)} \left( \exp \left( \frac{K}{2(C+U)} x \right) - 1 \right) \right]^{-1}$$

is obtained. The condition of vertical wave front, therefore, is

$$\frac{1}{\alpha_0} \exp \left( \frac{K}{2(C+U)} x \right) + \frac{g_2(3C+U)}{CK(C+U)} \left[ \exp \left( \frac{K}{2(C+U)} x \right) - 1 \right] = 0.$$

The position of bore generation is

$$x_b = \frac{2(C+U)}{K} \ln \left[ \left( 1 - \frac{CK(C+U)}{(3C+U)\alpha_0 g_2} \right)^{-1} \right].$$

Where,  $C$  is characteristic wave speed,  $K$  linear friction coefficient,  $\alpha_0$  initial wave front slope,  $g$  gravitation,  $x_b$  the distance of bore generation. When the shallow water nonlinear effect is neglected, the wave front slope equation changes into

$$\alpha = \alpha_0 \exp \left( - \frac{K}{2(C+U)} x \right).$$

Therefore, the wave front slope is limited and bore can not form.

It is concluded that the shallow water nonlinear effect is the determinant for the generation of a bore, friction wearing off energy is a restrainer, and the opposite constant flow promotes the generation of a bore in shorter distance.